

# 鋼橋架設工事の引出工法における腹板の耐荷力およびその安全性について

横河工事

菊野日出男 ○前田継道

## 1. まえがき

近年、橋梁の設計、製作技術の急速な進歩にともない高張力鋼を用いた大型薄肉溶接構造の橋梁がますます増加する傾向にある中で、橋梁架設技術の進歩にもめざらしいものがあり、これらの時代的、すう勢に刻んだ架設工法の開発に大きな努力が見られる。しかし、架設途中における荷重、外力、製作計算精度に対する不確定要素が多く架設途中の構造系に対する耐荷力及びその安全性についての研究がそれにもかかわらず、最近においても架設途上で落橋する事故も2~3例、海外で発生している。これには、架設途中における安全性の検討がおろそかになされたり、安全率を式より程度高く設定されることは止むをえないとしても、盛んには単に経験のみに頼っていることもない付で、従来から用いられて平ら鋼橋架設工法の一手法である『引出シ工法』を例にとって、その問題点の一つである腹板を補削材のない点で受けたときの局部集中応力とその耐荷力について従来から用いられてきたローラーによる引出シ工法から一歩進んだ方式の引出シ工法で、最近の高張力鋼を用いた長支間の大跨、薄肉構造の橋桁、特に箱桁に対処したもので『ノンフリクションプレート』と滑り板を用いて橋桁を支持しジャッキで引き出す工法やばら『送り出し装置』を用いた引出シ工法を紹介し本工法の特徴、および腹板をローラーで受けた場合と平面板で支持した場合の腹板に生ずる局部集中応力の差異と理論計算と実験値から考察し、その耐荷力および安全性を実際架設例を紹介しながら述べて行こう。

## 2. 『送り出し装置』を用いた引出シ工法の概要および特徴

従来から橋げの架設の一工法としての『引出シ工法』は、もうかじめ取付道路上など架設地点附近に組立された跨線橋、架道橋等を短時間に架け渡す工法として、また河川上や地下空間の利用に制限される場合および重連式の引出しが可能な直橋の架設等に有効な工法として多く用いられており。この場合、直ねじに架設時の主桁にかかる負担をモーメントを小さくするために予延性を取り付けたり、引出シ時の牽引抵抗を小さくするため、ケーブルローラーで支持しながらウインチとワイヤロープによる引き出す工法がとらわれてきたが、この工法には、つまづくのが難点があつた。

- i) ローラー上を引き出す場合、ローラーは隣支承としまで動くためその近傍に応力が集中し、さうに最近のように大型の薄肉構造を取り扱う場合には腹板の座屈に対する安全性が著しく低下することが考えられる。
- ii) 大型橋梁を重連式で引き出す場合に、ウインチヘワイヤーロープ方式では牽引力が不足する問題が生ずる。
- iii) 大型、大重量の橋げたをローラー支持にして抜巻、引き出すことは架設時の安全性に欠ける面がある。

以上の欠点を改善するとともに引出シ工法の利点を兼ね備えた引出シ工法が『送り出し装置』を用

「引出しが架設工法である」ということが出来た。すなはち、本工法によれば、

- i). ベビの腹板を剛性の大きな板で面支持することによって、腹板に生ずる局部集中応力を緩和し、ローラー引出しが比べて大反力、大ブロックの一括引出しが可能になった。
- ii). 引出しが在来のウインチヘリヤーロープ方式から、油圧ジャッキヘポンプ方式にかえることにより、引出牽引力が保証され引出しが作業も単純化され安全性が増した。
- iii). 牽引抵抗を小さくするために、在来はローラーを用いていたが、本工法ではノンフリクションブレーキ（四つ化エチレン樹脂）の滑り板（摩擦係数、 $\mu = 0.03 \sim 0.08$ ）を用いることにより、引出抵抗をローラーと同等に小さくすることが可能となった。
- iv). 従来の引出しが工法で用いられてきたローラーと主軸を支持する方式から平面板で支持するこより架設時の安定性が高くなり安全性が増している。

### 3. 『送り出し装置』の説明

送り出し装置の構造・配置要領をそれぞれ図-1、図-2に示す。また送り出しの機構は図-3に示すように、約1mの滑り面長を有する滑り板①と、けん引を支撐するけん引板②、かみびきねじを駆動させると水平テンジонジャッキ③とケーブルを杠上、降下させると垂直ジャッキ④ヒカリなり、⑤、⑥のジャッキは電動ポンプによって操作できる。これらを図-3の①～④サイクルで操作することにより、1ストローク(約1m)ずつ橋脚を直線上に送り出して行く。

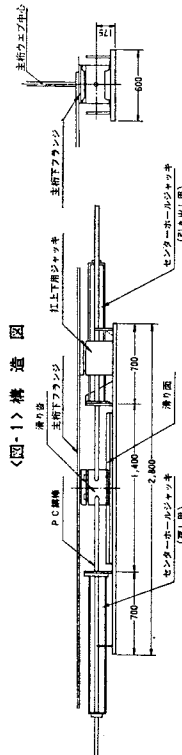


図-1 構造図

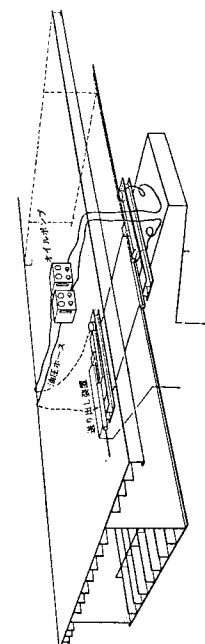


図-2 送り出し装置配置要領図

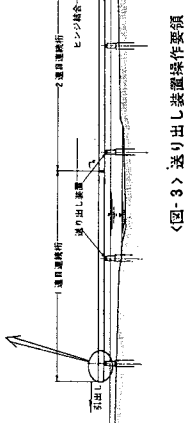


図-3 送り出し装置操作要領

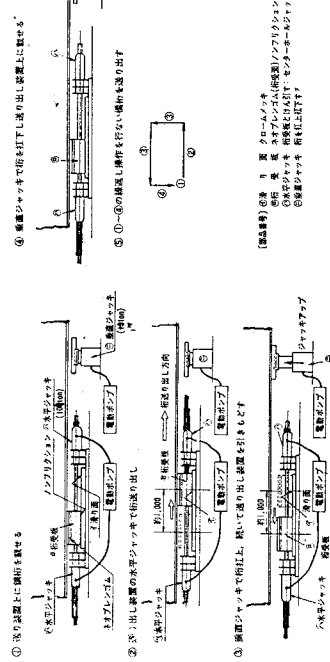


図-3 送り出し装置操作要領

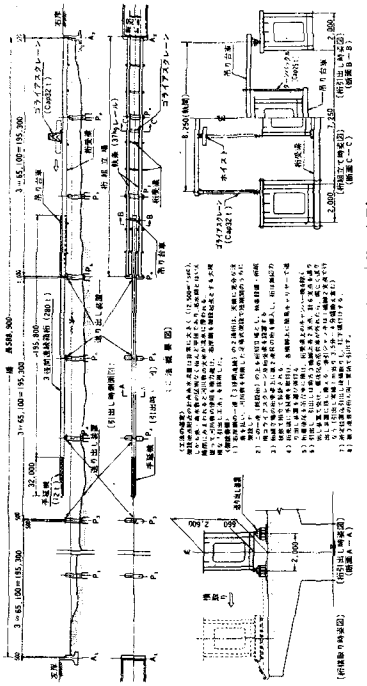
#### 4. 施工実績および施工例

施工実績は表-1に示す。施工例は図-4、図-5に示す。

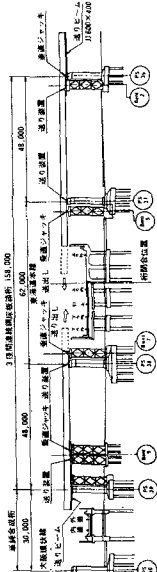
表 - I 施工実績

工事名	工事時期	発注先	橋梁形式及工法 諸元	工事総重量	引出重量W(t)	巡回装置数:J
					引出距離L(m)	大手門手数:丁
1.新木曾川橋梁	S42.3~S43.12	建設省・中部地建	3径間連続鋼床版 2箱桁 3連 3@6.100=18.300m 中間14.000	3,238t 831	W=300t L=400m	J=2台 丁=2台
2.御室筋線道路橋	S44.4~S44.12	国鉄 大阪工事局	3径間連続鋼床版 2箱桁 (油鋼橋) (48.000+62.000+49.000)m 中間14.000	925t 655	W=500t L=30m	J=8台 丁=4台
3.天王寺川橋梁	S44.4~S44.12	国鉄 大阪工事局	2径間連続鋼床版 2箱桁 (油鋼橋) (46.500+55.625)m 中間16.000	706t 355	W=600t L=100m	J=8台 丁=4台
4.小松崎線道路橋	S44.3~S45.3	国鉄 東京工事局	単純鋼床版 2箱桁 2連 6.4x200 中間15.000	658t	W=600t L=180m	J=12台 丁=4台
5.首都高速道路7号線 7-33区	S44.9~S44.11	首都高速道路公団	単純合成工形 2連 4@5.620	380t	W=72t L=55m	J=4台 丁=2台
6.石狩河口橋	S44.10~S45.3	北海道開拓局	3径間連続鋼床版 1箱桁 (斜張橋) 2@16.000+16.000=2T.k.m 中間	165t	W=400t L=31m	J=4台 丁=2台
7.飯鹿川橋梁	S46.6~S47.6	建設公团古河府舎	3径間連続 2箱桁 2連 6.0x3.000+2.72.600 2@6.000+2.72.600 合計6.000+2.72.600=9.72.600	1700t	W=1200t L=380m	J=12台 丁=8台
8.松浜背道橋	S45.9~S45.12	建設省・水陸地建	単純鋼床版 1箱桁 14連 2@15.400+2@15.500=17.000 2.000	895t 977	W=250t/1連 L=260m	J=5台 丁=2台
9.新利根橋	S46.6~S46.12	建設省・関東地建	3径間連続 1箱桁 3@20.000=60.000 中間P.000+2.000	849t 803	W=870t L=260m	J=16台 丁=8台
10.新吉野川橋	S46.5~S47.2	建設省・四国地建	3径間連続 1箱桁 2連 6@7.100=42.600 中間1.75+1.500	187t 296	W=1800t L=400m	J=20台 丁=12台
11.新旭川橋	S47.1~S47.6	建設省・中部地建	3径間連続鋼床版 2連 6@(5.300)x2=33.900 中間P.000+2.000	1099t 583	W=1000t L=300m	J=10台 丁=5台
12.新田大橋	S48.6~S49.9	福岡県	単純鋼床面 1箱桁 5.2x200=266.000 中間10.000	791t 521	W=633t L=213m	J=8台 丁=4台

〈図-4〉 実施例 [新木曾川橋梁] (建設省中部地建)



〈図-5〉 実施例御堂筋跨線橋（国鉄大阪工事局）



〔前方送り装訂版面〕

## 5. 腹板に生ずる応力の解析および実験結果との比較

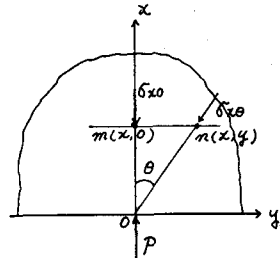
5-1 在来から引出工法に用ひられて来たローラーで補間されていいが、腹板を受ける場合、局部集中応力により腹板の耐荷力が著しく低下し大型の薄肉構造の橋梁を引出工架設することは大きな制約となつていた。しかし、ローラーに変えて平面板を受けて引出工架設することは可能であれば腹板の耐荷力も向上しより大型の橋梁架設が可能となることは十分知られていた。そこで3項で紹介した『送り装置』はその方法論を实用化すべく、本装置が開発され当初は腹板の局部集中応力を緩和することに対する非常に有効な手段であることは十分判つていたが、その程度効果があるかは不明であった。そこで計算による解析と実験結果により、その効果についての検討を行なう実証したいと思う。

### 5-2 ローラーから集中荷重を受けるときの理論式。

半無限平板に集中荷重  $P$  が作用した場合の腹板に生ずる応力は次の釣合式から求まる。荷重  $P$  による  $m$  点より  $n$  点に生ずる応力を  $\delta_{x0}$  および  $\delta_{y0}$  とすれば、これらはいずれも  $O$  点に向う方向の圧縮応力で、これに直角方向の主応力は  $0$  であり  $\delta_{x0}$  と  $\delta_{y0}$  の間に  $\delta_{x0} = \delta_{y0} \cdot \cos\theta$  の関係がある。平板を  $x$  軸を通る水平線で切り、この断面に垂直な方向の応力を積分すれば  $P$  に等しくなるわけである。

すなわち、平板の厚さを  $t_w$  とすれば

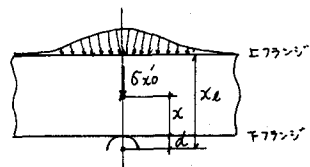
$$\begin{aligned} P &= - \int_{-\infty}^{\infty} t_w \cdot \delta_{x0} \cdot \cos^2 \theta \, dy = - \int_{-\frac{\pi}{2}}^{\frac{\pi}{2}} t_w \cdot \delta_{x0} \cdot \cos^2 \theta \cdot \frac{x \cdot d\theta}{\cos^2 \theta} \\ &= -t_w \cdot x \cdot \delta_{x0} \left( \frac{\pi}{2} + \frac{\sin 2\theta}{4} \right)_{-\frac{\pi}{2}}^{\frac{\pi}{2}} = -\frac{\pi}{2} \cdot t_w \cdot x \cdot \delta_{x0} \end{aligned}$$



$$\text{故に } \delta_{x0} = \frac{-2P}{\pi \cdot t_w \cdot x} \quad \dots \dots \quad ①$$

実際の工件では、その腹板の高さは有限で、かつ上フランジによって拘束を受けている。また下フランジの剛性等の影響により、計算上の荷重の作用点  $O$  は、実際の作用点より  $d$  だけ遠い位置にある。そのための補正項  $\delta_{x0}''$  はつきのようになる。

$$\delta_{x0}'' = \delta_{x0} \frac{x-d}{x_e-d} = - \frac{2P}{\pi \cdot t_w \cdot x_e} \cdot \frac{x-d}{x_e-d}$$



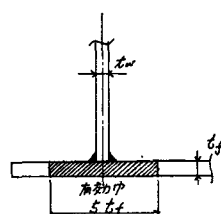
したがって実際の働く応力は次式で表わせる。

$$\tilde{\delta}_{x0} = \delta_{x0} - \delta_{x0}'' = -\frac{2P}{\pi \cdot t_w} \left\{ \frac{1}{x} - \frac{x-d}{x_e(x_e-d)} \right\} \quad \dots \dots \quad ②$$

又、文献(1)によると実験により  $d$  の値を

$$d = 1.654 \left( \frac{I}{t_w/2} \right)^{1/3} \text{ と } \text{ し }$$

$$I \text{ の値を } I = \frac{5tf \times tf^3}{12} \text{ としている。}$$



### 5-3 平面支承から荷重を受けたときの理論式。

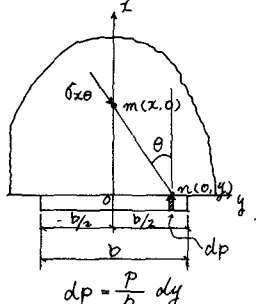
5-2項でローラー支承から腹板に集中荷重を受ける時、 $m$ 点に生ずる垂直方向の応力 $\tilde{\sigma}_{x0}$ は①式で表わされる。すなはち半無限板が、巾 $b$ を有する平面承板から $P$ なる荷重を受けて場合にローラーの場合と同様、 $m$ 点に生ずる垂直応力 $\tilde{\sigma}_{x0}$ を求めるとしている。すなはち平面承板に無限大の剛性を有するものとして、平面支承の任意の点 $m(0, y)$ で $dp$ なる荷重が作用した際の $m$ 点の $\theta$ 方向に働く応力 $\tilde{\sigma}_{x0}$ は

$$\tilde{\sigma}_{x0} = \frac{-2dp}{\pi \cdot tw \cdot x} \cos^2 \theta \text{である。}$$

又、 $m$ 点の $x$ 軸方向に働く応力 $\tilde{\sigma}_{x0}'$ は、 $\tilde{\sigma}_{x0}' = \frac{-2dp}{\pi \cdot tw \cdot x} \cos^2 \theta$ で表わされる。

従って、巾 $b$ による平面支承 $m(x, 0)$ 点の $x$ 軸方向応力 $\tilde{\sigma}_{x0}$ は

$$\tilde{\sigma}_{x0} = 2 \int_0^{\frac{b}{2}} \frac{-2P}{\pi \cdot tw \cdot x \cdot b} \cos^2 \theta dy$$



$$dp = \frac{P}{b} dy$$

$$\text{又, } \cos \theta \text{は } \frac{x}{\sqrt{y^2+x^2}} \text{で表わされるから } \tilde{\sigma}_{x0} = \frac{-4P}{\pi \cdot tw \cdot b \cdot x} \int_0^{\frac{b}{2}} \left( \frac{x}{\sqrt{y^2+x^2}} \right)^2 dy$$

$$\tilde{\sigma}_{x0} = \frac{-4P}{\pi \cdot tw \cdot b} \tan^{-1} \frac{b}{2x} \dots \dots \quad ③$$

で表わされる。しかし、実際の軸ではその腹板の高さは有限でかつ上フランジによって拘束を受けている。また下フランジの剛性等の影響により計算上の荷重の作用位置には、実際の作用点より $d$ だけ遠い位置にある。そのための補正項 $\tilde{\sigma}_{x0}''$ はつきのようになる。

$$\tilde{\sigma}_{x0}'' = \tilde{\sigma}_{x0} \cdot \frac{x-d}{x+d} = \frac{-4P}{\pi \cdot tw \cdot b} \cdot \tan^{-1} \frac{b}{2x} \cdot \left( \frac{x-d}{x+d} \right)$$

$$\therefore \tilde{\sigma}_{x0}' = \tilde{\sigma}_{x0} - \tilde{\sigma}_{x0}'' = \frac{-4P}{\pi \cdot tw \cdot b} \left( \tan^{-1} \frac{b}{2x} - \tan^{-1} \frac{b}{2x} \left( \frac{x-d}{x+d} \right) \right) \text{となる} \dots \dots \quad ④$$

### 5-4 理論式中の $d$ の値について。

理論式を実用式として用いるためにには、理論式中の $d$ の値を実験的に求めなければならない。ローラー支承の場合の $d$ 値については、今までにも実験的に求められていてある。参考文献2)によると溶接軸の場合、 $d = 1.654 \left( \frac{I}{tw^2} \right)^{1/3}$  とし  $I = \frac{5.254}{x}$  といっている。

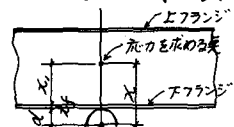
すなはち、ローラーから腹板の応力を求めるまで距離を $x$ とし、その $x$ の値を次式で表わしていよう  $x = t_f + x_i + d \dots \dots \quad ⑤$

この $d$ の値はローラーの場合、良く一致するところになっており、

実用式として多く用いられている。そこで平面支承の場合も基本的には

この $d$ の値と一緒にすればよろしく考え③式に⑤式の値を代入して

実験値と比較を行なつて、その結果は、図-6の通りである。この図によると、 $d = 1.654 \left( \frac{I}{tw^2} \right)^{1/3}$  を用いて計算した値が、それの場合も10%~20%大きくなり実験値の方が、小さくなる。



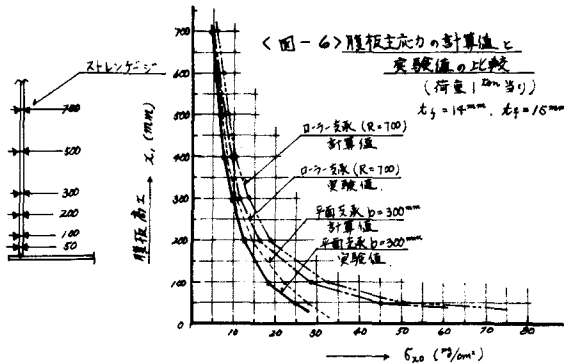
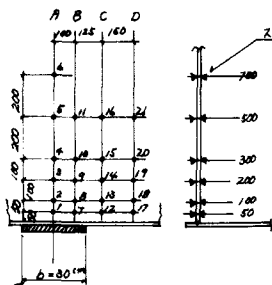
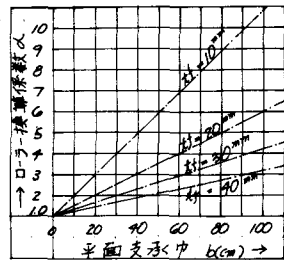


図-7 平面支承とローラー支承との比較

$t_f$  ……下フランジ厚さ



したがって、計算式の  $\alpha$  の値を多大修正する必要もあると考えられるが、実験の際の平行に生じた曲げモーメントが明確でなく、又実用上安全側によることと、平面支承の場合、支承板の剛性にも問題があるのであえて  $\alpha$  の値を修正せずに用いることにとした。

### 5-5、ローラー支承の場合と平面支承の場合の腹板に生ずる応力の比較。

前記の 5-2, 5-3 項より求めた理論式より半無限大板に生ずる応力は、

$$\text{ローラー支承の場合 } \sigma_{x0} = -\frac{2P}{\pi \cdot t \cdot b} \quad \dots \dots \quad [I]$$

$$\text{平面支承の場合 } \sigma_{x0}' = -\frac{4P}{\pi \cdot t \cdot b} \cdot \tan^{-1} \frac{b}{2x} = -\frac{2P}{\pi \cdot t \cdot b} \left( \frac{2x}{b} \cdot \tan^{-1} \frac{b}{2x} \right) \quad \dots \dots \quad [II]$$

(但し、いずれの場合も補正項は小さいため省略した。)

では、ローラー支承と平面支承の場合の腹板に生ずる応力比較は、[II] 式を次の様に表わして比較することになる。

$$\text{すなはち [IV] 式は } \sigma_{x0}' = -\frac{1}{\alpha} \cdot \frac{2P}{\pi \cdot t \cdot b} \quad \dots \dots \quad [III] \text{ で表わされる。}$$

$$\alpha \text{ の値は } \alpha = \frac{b}{2x \cdot \tan^{-1} \frac{b}{2x}} \quad \dots \dots \quad [IV] \text{ で表わされる。}$$

ここで  $\alpha$  はローラー支承と比較する係数として表わすことにより、平面支承中と下フランジ厚の関係で決まる係数であることがわかる。この  $\alpha$  を『ローラー換算係数』として表わすと図-7 の様になる。図-7 よりわかることは、下フランジの板厚が薄い場合、平面支承とローラー支承とは非常に有効となることがわかる。たとえば、平面支承中  $b = 60\text{cm}$  で下フランジ厚  $t_f = 10\text{mm}$  の場合、ローラー支承に換算すると  $\alpha \approx 70$  となり 7 倍のローラーを受けたのと同じ効果が得られることがわかる。又図-4 に示した腹板の主応力分布図では平面支承とローラー支承との主応力の腹板高による応力変化を示したものであるが、腹板に生ずる応力は下フランジ上面から  $10\text{ cm}$  程度迄では局部集中応力の差異がけん引はだしく  $70\text{ cm}$  以上になるとローラー支承と平面支承の差異は小さくなることがわかる。したがって平面支承は局部集中応力 和に対し非常に効果がある。以上述べた事で平面支承とローラー支承の場合の大なる差異が説明され得る。

でいて『引出工法』を大中に改善するとともに長大橋を『引出工法』架設することが可能となる要因でもある。

## 6. 『引出工法』における腹板の耐荷力とその安全性について。

6-1 概要。引出工法における腹板に生ずる応力及び応力分布は、理論解析及び実験を通してある程度、把握することができるようになっており、腹板の耐荷力下から座屈については不明な点が多い。桁製作時の初期ひずみ、残留応力および材料強度と耐荷力の問題などがある。特に腹板の初期ひずみ、残留応力は腹板耐荷力に大きな影響をおぼすことは実験、実際施工を通して知り得であるが、十分把握するには致っていない。しかし腹板の局部座屈(耐荷力)に影響する項目をあげると。

- |                    |                    |
|--------------------|--------------------|
| 1. 支承条件。           | 5. 腹板補剛の間隔および位置。   |
| 2. 腹板の初期ひずみ(製作精度)。 | 6. 腹板の板厚および母材強度。   |
| 3. 残留応力。           | 7. 腹板と下フランジとの接着方法。 |
| 4. 下フランジの板厚。       | 8. 腹板の温度変化および変形。   |

などがあげられる。

### 6-2 腹板の耐荷力について。

我々が『引出工法』で鋼析の架設計画を行なうに際し、ローラー支承用にして、平面支承用を用いるにした腹板の補剛されていない点で受けた場合、局部集中荷重による局部座屈の問題となり、その耐荷力がどの程度あるかが問題とされていた。そこで、2~3の実験を通してこの種の問題の明確にあつた。その実験結果を図-8~図-9に示したが、これによると腹板が84/枚の場合には、下フランジ上面より50mmの位置で腹板の局部応力が、 $\delta_c = -1600\text{kg/cm}^2 \sim \delta_c = -1800\text{kg/cm}^2$  程度になると明瞭な局部座屈の現象を呈はじめめる。又、SM50枚の場合では84/枚ほど明確な現象は得られなかつたが、図-9(c)に示す通り $\delta_c = -2100\text{kg/cm}^2$  前後で局部座屈を生じてることがわかる。これは腹板が局部的に面外座屈を生じ初めるか、その他の降伏現象を起し初めているもので、局部座屈現象を起していふことは相異なく、この点をもって腹板の局部座屈したと考えてよいかない。しかし、実験結果から推定すると局部座屈が生じ初めて時の耐荷力は破壊に至るまでの耐荷力の約20%~60%程度である。しかがつてこの局部座屈現象が起り初めてから2~3%に30%~40%の荷重を増加させないことには腹板が局部破壊するまでには至らない。これらのこととは、我々が施工計画を行なうにあつて腹板の耐荷力を推定する一つの目安にはよきものとして重要な点である。又これららの実験結果は腹板の補強リブの効果についての目安を得てくれたものでもあつた。図-9には腹板に補強リブを取り付けた場合の腹板の耐荷力を示してあるが、シート3と腹板の耐荷力は補強リブをつけないものに比べて $t_w = 9\text{mm}$  のもの約2倍の耐荷力を示してある。従つて、補強リブは平面支承の場合、腹板の耐荷力を増す手段として非常に有効である。又、図-10は補強リブの効果を示すもので荷重1t当たりに対して腹板に生ずる応力を補強リブのある場合とない場合および載荷位置の違いによる差異を示したものである。

### 6-3 腹板の耐荷力とその安全性について。

図-8 検査J7の腹板の  
局部抵抗力図

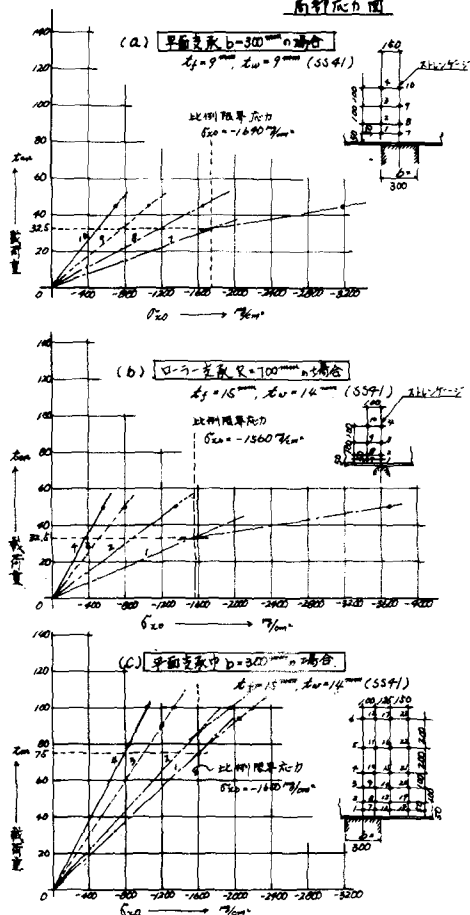


図-9 検査J7のわく場合の  
局部抵抗力図

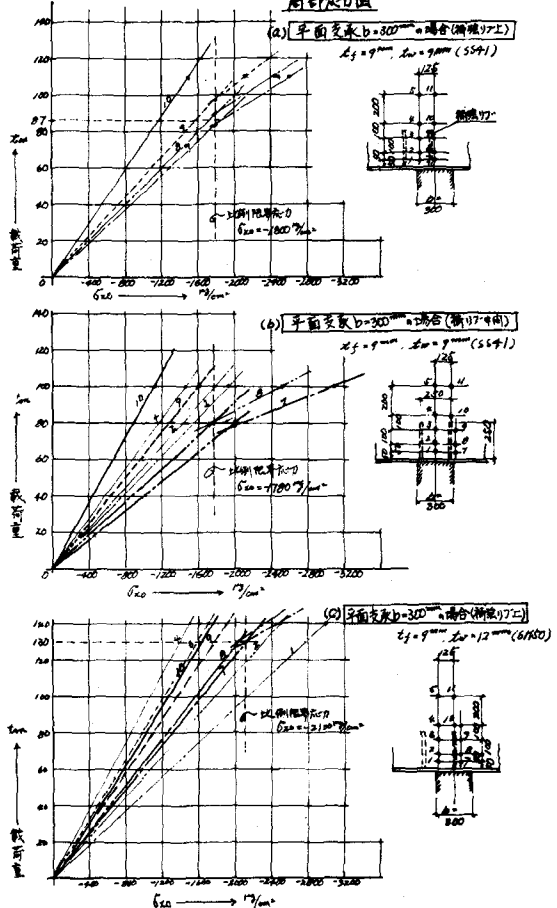
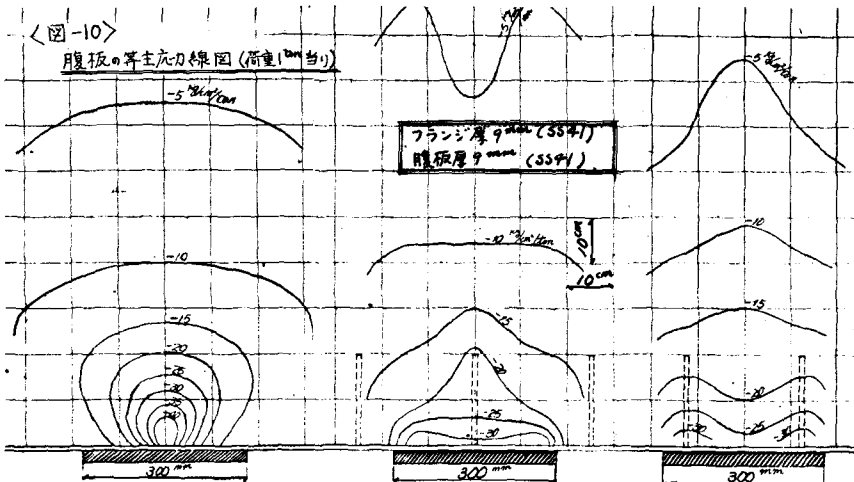


図-10  
腹板の等主応力線図(荷重1t/m当り)



『引張工法』における腹板の耐荷力とその安全性について考える場合、まず架設しようとする鋼桁全体が架設荷重、外力に対するどのほどの安全性をもつばよいか、又腹板の局部集中荷重に対するどの様な安全性をもつべきかが問題となる。そこで、今までの施工実績と実験結果および理論計算などを考慮に入れてから考えてみる。まず今までの架設計画時に考えていた安全性を例にあげると、主桁の抵抗モーメントが架設時に生ずる曲げモーメントに対する架設剛性比にして満足していいこと。腹板の補剛材間隔、配置が架設時に生ずるセン断力に対する十分であること。およびDIN4111の座屈安全率が1.35～1.45以上あること。上、下フランジが圧縮力を受ける場合には、その座屈安全率がDIN4114を用いて1.45以上あることを基本としている。次に腹板の局部集中荷重に対する局部的に生ずる応力が、P841材の場合に約-2000N/mm<sup>2</sup>、SM50材の場合に約-3000N/mm<sup>2</sup>であるればよいとしている。しかし、局部集中応力の算出方法と許容値から局部集中応力の大きさに問題があり、施工初期の中には多少トラブルもあり、それ以後は腹板の局部集中応力を緩和する意味で腹板に補強リブを平面支承や以下で配置して安全性を確保していくのが実状であつて、そこで、この局部集中応力算出方法と局部座屈の実験を把握するため種々の実験と実橋を行つた。その結論として、今まで述べて来た様な結果を得られた。そこで一応これらの結果について局部座屈についての安全性を参考してみたい。

架設時の主桁の安全性の検討については局部座屈問題を除いて今迄で通りで差しつかえないことは施工例を通してわかつており次の事項を改善することにした。

- ① 局部集中応力の算式は5-3項で準じて③式にする。
  - ② 腹板の局部座屈応力をP841材では約-1800N/mm<sup>2</sup>、SM50材では約-2400N/mm<sup>2</sup>とすること。シント以外の材質については各材の降伏応力度5%の3%以下とする。
  - ③ 補強リブを平面支承や以下で配置する時は、③式にて算出した応力の65%以下とする。  
(但し 補強リブはR50×10×150程度のものを使用すること。)
  - ④ 腹板厚が12mm以下では②の局部座屈応力の80%とする。
  - ⑤ 架設時の主桁構造系が静定系であるか不静定系であるかによって計算反力と実際反力に差がある実状に則りないので不静定系の場合には計算反力を2割増とする。
- 以上、『引張工法』で施工計画を行なう場合の局部集中応力に対する許容応力度を過去の実験結果よりまとめると表-1のようになる。

表-2 引出し工法における腹板集中応力に使用する安全率とその許容応力度

鋼種	SS 41 SM 41 SMA 41	SS 50	SM 50	SM 50Y SM 53 SMA 50	備考
降伏巨強度(腹板の局部屈展に対する)	1800 $\frac{kg}{cm^2}$	2100 $\frac{kg}{cm^2}$	2400 $\frac{kg}{cm^2}$	2700 $\frac{kg}{cm^2}$	降伏巨強度に対する(鋼種)
①腹板からの反力の割増し	静定系: 1.0 不静定系: 1.2	1.0	1.0	1.0	施工誤差を考慮した安全率
		1.2	1.2	1.2	
②腹板の局部屈展に対する安全率	$t_w \leq 12$ : 1.25 $t_w \geq 13$ : 1.00	1.25	1.25	1.25	腹板の初期形状考慮による安全率
		1.00	1.00	1.00	
①と②を考慮した安全率 (静定系の場合)	$t_w \leq 12$ : 1.25 $t_w \geq 13$ : 1.00	1.25	1.25	1.25	
		1.00	1.00	1.00	
①と②を考慮した安全率 (不静定系の場合)	$t_w \leq 12$ : 1.50 $t_w \geq 13$ : 1.20	1.50	1.50	1.50	
		1.20	1.20	1.20	
①と②を考慮した許容応力度 (静定系の場合)	$t_w \leq 12$ : 1400 $\frac{kg}{cm^2}$ $t_w \geq 13$ : 1800 $\frac{kg}{cm^2}$	1600 $\frac{kg}{cm^2}$	1900 $\frac{kg}{cm^2}$	2100 $\frac{kg}{cm^2}$	腹板の局部集中応力の計算は次式による。 <平面支承の場合> $I_{xx} = \frac{4P}{\pi c^2 b} \cdot \tan^{-1} \frac{b}{2c} \dots ①$
		2100 $\frac{kg}{cm^2}$	2400 $\frac{kg}{cm^2}$	2700 $\frac{kg}{cm^2}$	
①と②を考慮した許容応力度 (不静定系の場合)	$t_w \leq 12$ : 1200 $\frac{kg}{cm^2}$ $t_w \geq 13$ : 1500 $\frac{kg}{cm^2}$	1400 $\frac{kg}{cm^2}$	1600 $\frac{kg}{cm^2}$	1800 $\frac{kg}{cm^2}$	<ローラーの場合> $I_{xx} = -\frac{2P}{\pi c^2 b} \dots ②$ $I_{yy} = \frac{1}{2} I_{xx} + \frac{1}{2} P \cdot c^2 \dots ③$ $a = 1.65k \left(\frac{I_{yy}}{I_{xx}}\right)^{1/2} \dots ④$ $I = \frac{I_{yy}}{I_{xx}} \dots ⑤$ 但し平面支承で計算された時に 補強アーチを承認以下を使用した時は $\frac{1}{5} I_{yy}$ を使用する
		1700 $\frac{kg}{cm^2}$	2000 $\frac{kg}{cm^2}$	2200 $\frac{kg}{cm^2}$	
(注): 主桁の架設時の曲げモーメントは主桁の抵抗モーメント以内とする。 腹板及びフランジの曲げモーメント及び断力に対する座屈検討はDIN 41148 用いて計算し、その安全率を S.F. ≥ 1.45 とする。					

## 7. あらがき

『引出し工法』、特に『送り出し装置』を用いた場合における腹板の耐荷力及びその安全性について、今までの施工経験及び実験を通して現時点でもある程度わかっている事項についてまとめましたが、この種の問題について今まで報告された例も数々なく、ハザレモローラーを用いた引出し工法に限られていました。しかし、6-1項でも記述した通り、未知な面も多いが、それからの研究していくでは、より明確な理論解析手法が得られるであろうと思われる。あくまでも、有限要素法を効果的に適用することなどが考えられる。その他 製作、施工精度の統計的把握に対する試み及び主桁の効果的な補剛方法の確立なども考えて行かねばならないであろう。

## 参考文献

1)『プレートガーターを補剛しない点で支えた場合に腹板に生ずる応力』

昭和39年9月 鉄道技術研究所 白石隆義他、

2)『継取架設のローラー支点のチエック』

国鉄構造物設計資料 N.O.2 奈良一郎、田中勇